

### III-91 繰り返し再圧密粘土のクリープと温度依存性

金沢大学 正 二木幹夫  
同 正 ハ木則男  
同 正 西田義親

#### まえがき

液性限界以下の含水比で練り返し、再び圧密すると従来の正規圧密粘土(NC粘土と記す)とはかういふ力学的特性の違った状態の粘土(これをRNC粘土と称す)が得られることを以前より報告している。<sup>(1)(2)(3)</sup>

飽和粘土の一般的な力学特性を論ずる際、かかるRNC粘土を含め広い範囲より眺めることは、従来の正規圧密粘土、過圧密粘土の置かれている力学的位置、あるいはその力学的特性を支配するファクターを見出す上で意義あることであると思われる。今回、以前報告した<sup>(2)</sup> RNC粘土のクリープ特性の続報として、段階的に荷重を増加するクリープ特性ならびに温度に対するクリープ特性の相違について実験的研究を行つたので報告する。試料および実験方法

実験に用いた試料は九谷粘土と称するカオリーン系の粘土であり、その物性は表-1に示すとおりである。

クリープ試験装置の概要を図-1に示す。実験にコレルウェーブの三軸セルを用い、非排水状態で行つた。変位は載荷板の下に取り付けたダイヤルゲージで読みとり、間隔を水压はひずみゲージ型の圧力変換器で測定し自記録させた。試験は温度20°C, 30°C,

40°Cについておこない、20°Cの場合には恒温室内(20°C±1°C)で行つた。30°C, 40°Cの場合には恒温室内に置かれた、±0.5°Cの精度のサーモスタットのついた恒温水槽中にセルをつけておこなつた。ただし、いずれの場合も圧密は20°Cで行つた。バーティアレーレー2.0 kg/cm<sup>2</sup>を付加して試料を飽和させた後実験に切りかかれた。30°C, 40°Cの場合、非排水状態で供試体の温度をあげるために水の膨張性、あるいは粘土の圧縮性が大きくなるなどの理由により供試体に付加的ひずみが水压が発生する。その値は30°Cの場合で0.35 kg/cm<sup>2</sup>~0.45 kg/cm<sup>2</sup>、40°Cの場合で0.60 kg/cm<sup>2</sup>~0.75 kg/cm<sup>2</sup>であった。この値は水槽にセルを浸してから1時間位で一定値に達したので、試験はセル水浸後2時間後に開始した。なお、クリープが進む、軸ひずみ(E)が増加すると供試体の断面積が増加するから、クリープ応力を一定に保つため、軸変位50/100 mmごとにクリープ荷重を補正した。供試体は高含水比(L.L.以上)でスラリー状に練り直した粘土を、大型圧密器で所定の圧密圧力を圧密し、正規圧密(NC)粘土については

0.7 kg/cm<sup>2</sup>で圧密した試料、RNC粘土については2.0 kg/cm<sup>2</sup>、4.0 kg/cm<sup>2</sup>で圧密した試料と空気が混入しないよう12再び練り直した試料をもれせぬセル圧2.0 kg/cm<sup>2</sup>で等方圧密し供試体とした。(RNC粘土の場合、練り直す前の圧密圧力が4.0 kg/cm<sup>2</sup>の時RNC<sub>4.0</sub>と表記する)。

表-1 物 性

Gs	LL (%)	P.L (%)	P.I (%)	SL
2.59	79.8	26.8	52.5	21.5

- A: 供試体 F: ケイルゲージ  
B: 三軸セル G: 厚擦り  
C: air regulator H: つり合い荷重  
D: transducer I: クリープ荷重  
E: 恒温水槽 J: サーモスター

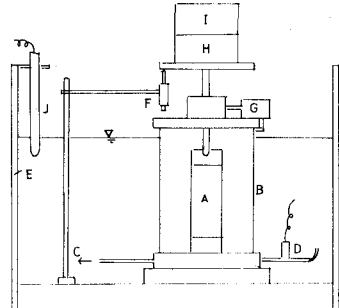


図-1 実験装置

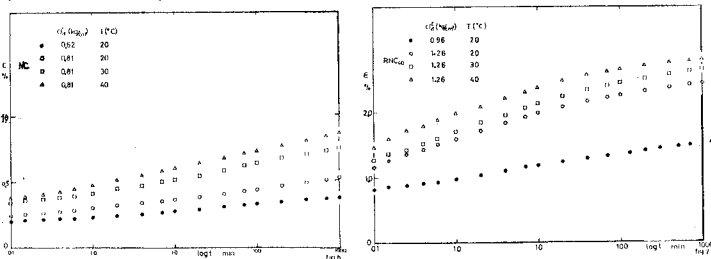


図-2 ひずみ～時間(ア)

ひずみ～時間(б)

## 実験結果および考察

図-2(a), (b) は  $T=20^{\circ}\text{C}, 30^{\circ}\text{C}, 40^{\circ}\text{C}$  における NC 粘土, RNC<sub>40</sub> 粘土のひずみ~時間関係、図-3(a), (b) にひずみ速度~時間関係を示す。図-2 より、NC 粘土の場合、ひずみ~時間関係は、温度の違いによって勾配が異なる。直線となるのに反して、RNC<sub>40</sub> 粘土の場合には初期ひずみの違いがあり、曲線となる。従って、図-3においては、NC 粘土の場合にはほぼ平行な直線群となるが、RNC<sub>40</sub> 粘土の場合には温度の影響は顕著ではなく、経過時間に対してひずみ速度はほぼ等しくなる。今まで行ってきた RNC 粘土に関する実験結果(例えば表面活性が付いた土になるに従い、練り返しの影響が少くなること<sup>(3)</sup>など)を考え合わせれば、RNC 粘土の構造の特徴の 1つとして次のようなことを考えることができる。ある程度、粘土-水系の構造(特に吸着水を含めた構造)が発達した粘土においては、その力学的特性は、多分に粘土-水系の構造が温度の影響を受けたため、温度により変化するが、一度、低含水比で練り返すことなどによると、粘土-水系の構造が破壊されると、温度の影響を受けにくくなる。すなわち、NC 粘土と比較して RNC<sub>40</sub> 粘土の  $C_e$  が減少せざるが増加すること、およびこの点が同じ粘土のパラメータの間に近い値となる<sup>(3)(4)</sup>ことがうかがえる。吸着水などが破壊され、粘土がより摩擦材料に近くなるものと思われる。

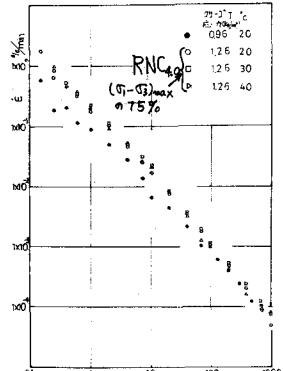
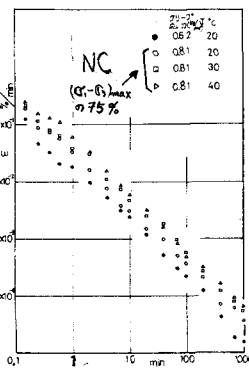


図-3 ひずみ速度~時間  
(a)

(b)

図-4(a), (b) に段階的に荷重を載せた場合の NC 粘土( $T=20^{\circ}\text{C}$ ) RNC<sub>40</sub> 粘土( $T=20^{\circ}\text{C}, 40^{\circ}\text{C}$ ) に実するひずみ速度( $\dot{\epsilon}$ )と時間の関係を示す。(a)の場合、ひずみ制御試験より求めた剪断応力の最大値  $(\sigma'_1 - \sigma'_2)_{\max}$  の 140% 位のクリープ応力で破壊に到り、その時のひずみは 7% 位である。この傾向は従来認められていており、これと同様である。これに反し RNC<sub>40</sub> 粘土の場合には  $(\sigma'_1 - \sigma'_2)_{\max}$  の 160% のクリープ応力に達しても破壊に到らず、その時のひずみは 30% を越えている。この原因は、クリープ応力を増加するとそれに比例して有効応力  $(\sigma'_1 + \sigma'_2)$  が増加するためである。

図-5 の傾向は柱状土の圧密非排水試験結果と類似しており RNC 粘土の特徴的な点である。 $T=20^{\circ}\text{C}, 30^{\circ}\text{C}, 40^{\circ}\text{C}$  におけるクリープ時のベクトルカーブを描いたのが図-5 であるが、非排水状態で温度を上げたため初期の有効応力の状態は各供試体と違っているが、NC 粘土では最終的に同じ  $(P, \phi)$  点で破壊に到り、それと同時に等含水比面上では温度に関係なく一義的に破壊時の  $(P, \phi)$  が決定されると思われる。RNC 粘土においてもダイラタンサーの最大圧縮点附近の強度は、ベクトルカーブを示している。しかし、異なる温度で圧縮強度が変化させ柱状土における等含水比面上での問題については、現在検討中である。なお、本研究の実験には植田亮弘君(現島根県庁)の御協力があつたことに感謝致します。

(参考文献) (1)八木地、内山直之の力学特性: 土木学会第28回講演概要集 P11/12 (2)八木地、練り返し粘土の力学特性: 土木学会第30回年次講演概要集 P30-26 (3)八木地、練り返し再成土のせん断特性: 第1回 土質工学研究会第1回講演会概要集 P307~310 (4)西田義幹の剪切剛性: 土木学会第28回年次講演概要集

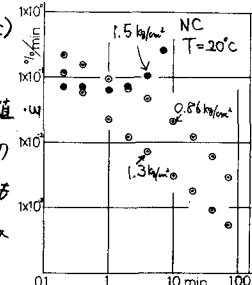
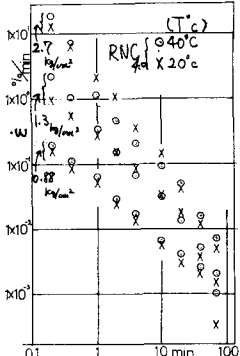


図-4 (a)



(b)

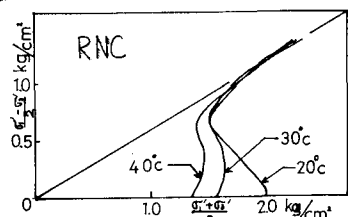
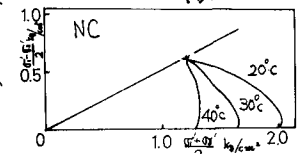


図-5 ベクトルカーブ